

《機器分析分野》

t-Bu 基による回転障害を利用した分子構築—環状多核フェロセン誘導体の合成

Molecular Architechture Using Rotation Hindrance due to a *t*-Bu Group— Synthesis of Cyclic Oligo Nuclear Ferrocene Derivatives

埼玉大学理工学研究科物質科学部門 佐藤 勝, 米川雄也

Department of Material Science, Faculty of Science and Technology, Saitama University
Masaru SATO and Yuya YONEKAWA

In 3-*t*-Butyl-1,1'-diacetylferrocene (**2**), prepared from the Friedel-Crafts reaction of *t*butylferrocene in good yield, restricted rotation was confirmed by the ¹H NMR spectrum. The Friedel-Crafts reaction of di-*t*-butylferrocene gave (**2**), 3,4'-di-*t*-butyl-1,1'-diacetylferrocene (**4**) and 3,3'-di-*t*-butyl-1,1'-diacetylferrocene (**5**) in 28, 46, and 23% yields, respectively. These compounds led to the corresponding trimethylsilyl lethynyl derivatives **7**, **8**, and **9** in moderate yields by the Balavoine method, respectively. Desilylcoupling of **7** and **8** with HgI afforded Hg-containing cyclic dimmers **10** and **11**, respectively. On the other hand, a similar reaction of **9** gave Hg-containing linear dimer **13** and trimer **14**, along with free acetylene **12**.

安定で、共有結合した環状遷移金属錯体の化学は、現代の超分子化学において重要な役割を演じている。¹ それら錯体の高度に対称的な構造や金属サイトの電気化学は我々を魅了するけれども、このクラスの遷移金属錯体をコントロールして合成するルートは比較的限られている。一方で、遷移金属への 2 つの官能基をもつ配位子の配位を利用した鎖状多核遷移金属錯体の研究は多数知られている。² 環状遷移金属錯体の分子構築には出発物質に隣接した官能基による制御が必要である。2 つのアプローチが主に用いられている

(1) オルトまたは 1,2-置換芳香族化合物を用いる制御³

(2) 遷移金属錯体のシス-立体配置を用いる制御⁴

回転障害を用いるアプローチは、環状遷移金属錯体を合成するもう一つの候補になる可能性がある。1,1'-置換フェロセン誘導体は 1,1'-位に 2 つの官能基を持っているが、フェロセンの 2 つのシクロペンタジエニル(Cp)環はフリーに回転しているので 2 つの官能基はアンチ-配座を採用している。そのため、2 つの官能基の縮合またはカップリングは通常鎖状オリゴマーを与える。フェロセンの 1,1'-置換フェロセン誘導体にかさ高い置換基を導入すれば、かさ高い置換基の立体反発のために 2 つの官能基は隣接した配向に導かれる。ここでは、*t*-Bu 基による回転障害を用いた環状多核フェロセン誘導体の合成を報告する。

結果と考察

t-ブチルフェロセン(**1**)のフリーデル-クラフツ反応はスムースに進行して 3-*t*-ブチル-1,1'-ジアセチルフェロセン(**2**)を良い収率で与えた。**2** のトルエン-*d*₆ 中での ¹H NMR スペクトルは 7 本の Cp 環プロトンを示し、25–80°Cで実質的にスペクトルの変化を示さなかった。このことは、鉄原子と Cp 環中心とを結ぶ軸の周りに制限回転が存在することを示唆している。同様に、1,1'-ジ-*t*-ブチルフェロセン(**3**)のフリーデル-クラフツ反応は、3,4'-ジ-*t*-ブチル-1,1'-ジアセチルフェロセン(**4**)と 3,3'-ジ-*t*-ブチル-1,1'-ジアセチルフェロセン(**5**)と 3-*t*-ブチル-1,1'-ジアセチルフェロセン(**2**)をそれぞれ 46, 23, 28%の収率で与えた。錯体**2**は**3**の *ipso*-アセチル化によ

る生成物である。ジアセチル化の中間体、3,1'-ジ-*t*-ブチル-1'-アセチルフェロセンの優位コンフォメーション(6)は、第2のアセチル基の攻撃が立体的に3'-位よりも4'-位に起こりやすいことを推測させる。この立体化学的な考察から仮に上に述べたような構造の同定を行ったが、最終的にはX-線構造解析によって決定した。すなわち、5をクロロホルム / ヘキサンから再結晶を行ったところ良好な単結晶が得られた。5の結晶学的なデータを表1に、結合距離と結合角を表2にまとめた。図1に示されたORTEP図は5が3,3'-ジ-*t*-ブチル-1,1'-ジアセチルフェロセンであることを確認した。

Table 1. Crystallographic Data for 5

5	
mol formula	C ₂₂ H ₃₀ O ₂ Fe
mol wt	382.327
cryst syst	Monoclinic
space group	P 21/c
<i>a</i> , Å	12.5440(4)
<i>b</i> , Å	8.2100(3)
<i>c</i> , Å	19.7910(7)
α, °	90.00
β, °	96.3510(10)
γ, °	90.00
<i>V</i> , Å ³	2025.69(12)
<i>Z</i>	4
<i>D</i> _{cal} , Mg m ⁻³	1.254
cryst dimens, mm	0.60 x 0.30 x 0.24
radiation (<i>λ</i> , Å)	Mo-Kα (0.71073)
Rfln (hkl) limits	-15 ≤ <i>h</i> ≤ 15 0 ≤ <i>k</i> ≤ 10 0 ≤ <i>l</i> ≤ 25
total rflns measured	4294
linear abs coeff, mm ⁻¹	0.76
L.S. params	226
<i>R</i>	0.0385
<i>R</i> _w	0.1196
<i>S</i>	0.981
max peak in final Fourier map, e Å ⁻³	0.230
min peak in final Fourier map, e Å ⁻³	-0.688

Table 2. Selected Bond Distances and Bond Angles for 5

Bond Distances (Å)			
O(1)-C(6)	1.202(2)	O(2)-C(17)	1.207(3)
C(6)-C(1)	1.472(2)	C(12)-C(17)	1.476(3)
Fe(1)-C(Cp)	2.057(av.)	C(Cp)-C(Cp)	1.427(av.)
Bond Angles (°)			
O(1)-C(6)-C(1)	121.6(2)	O(2)-C(17)-C(12)	120.9(2)
O(1)-C(6)-C(7)	121.3(2)	O(2)-C(17)-C(18)	122.0(2)
C(6)-C(1)-C(2)	125.6(2)	C(17)-C(12)-C(13)	124.5(2)
C(8)-C(3)-C(4)	125.2(2)	C(19)-C(14)-C(15)	126.5(2)

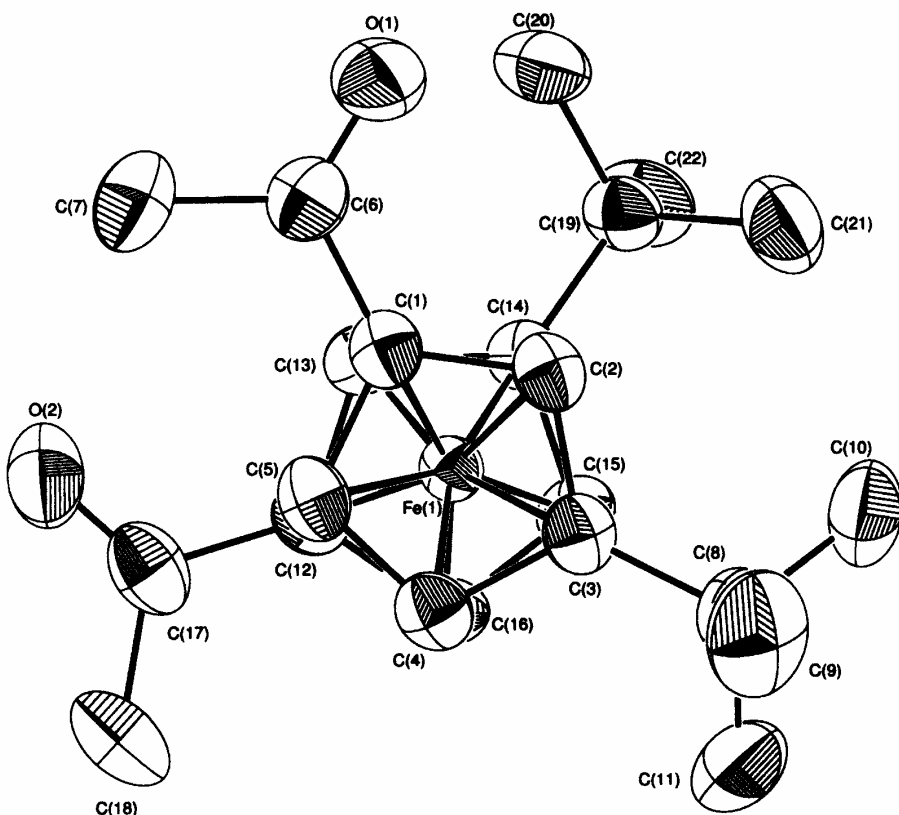


Fig. 1. ORTEP view of complex 5

アセチル基のエチニル基への変換は Balavoine 法⁵を用いることで成功した。フリーの 1,1'-ビス(エチニル)フェロセンは不安定であることが知られているので、⁶ 安定に取り出すためにはトリメチルシリル基による保護が必要とした。2 を LDA およびクロロ燐酸ジエチルと反応させ、その後 TMSCl と LDA を反応させると 3-*t*-ブチル-1,1'-ビス(トリメチルシリルエチニル)フェロセン(7)が比較的良い収率で得られた。同様な方法を用いて、4 および 5 がそれぞれビス(トリメチルシリル)誘導体 8 および 9 へ導かれた。

錯体 7 をジクロロメタン中で HgI₂ / TEBA と反応させたところ、環状 2 核錯体(10)が比較的良い収率で得られた。錯体 10 は IR スペクトルにおいて 2142 cm⁻¹ に内部アセチレンに相当する伸縮振動を示し、MS スペクトルにおいては *m/z* 977 に分子イオンピークを示した。また、分子イオンピークの同位体パターンは、計算パターンと良い一致を示した。錯体 8 との同様な反応は、同様な環状 2 核錯体(11)を与えたが、錯体 9 の反応では、フリーなアセチレン末端を有する鎖状オリゴマーの混合物を与えた。すなわち、錯体 9 をジクロロメタン中で HgI₂ / TEBA と反応させたところ、3,3'-ジ-*t*-ブチル-1,1'-ビス(エチニル)フェロセン(12)の他に 2 核錯体(13)と 3 核錯体(14)の 2:1 混合物を得た。13 と 14 の混合物では IR スペクトルで末端アセチレンと内部アセチレンの伸縮振動がそれぞれ 2110 と 2143 cm⁻¹ に観察され、MS スペクトルにおいて *m/z* 1436 と 1979 に計算パターンと一致するそれぞれの分子イオンピークを示した。

Experimental

3-*t*-butyl-1,1'-diacetylferrocene (2). To a suspension of AlCl₃ (4.1 g, 31 mmol) in dichloroethane (30 ml) was added acetyl chloride (2.4 ml, 31 mmol) and subsequently *t*-butylferrocene (1.88 g, 7.8 mmol). The resulting deep violet solution was refluxed for 45 min. After cooling, 1% HCl aqueous solution (60 ml) was added to the solution at 0°C. The mixture was extracted with CH₂Cl₂. The extract was washed with H₂O and dried over MgSO₄. After evaporation, the residue was chromatographed on Al₂O₃ to give the title compound (1.62 g, 64 %) as dark-red oil. IR (KBr): 1667 cm⁻¹ (ν CO). ¹H NMR

(400 MHz, C₆D₆): δ 1.04 (s, 9H, *t*-Bu), 2.09 (s, 6H, Me), 2.10 (s, 6H, Me), 3.93 (m, 1H, η -C₅H₃), 4.01 (m, 1H, η -C₅H₄), 4.08 (m, 1H, η -C₅H₄), 4.43 (m, 1H, η -C₅H₃), 4.45 (m, 1H, η -C₅H₄), 4.51 (m, 2H, η -C₅H₃ and η -C₅H₄). ¹³C NMR (100 MHz, C₆D₆): δ 27.45 (Me), 27.56 (Me), 30.57 (*t*-Bu, C), 31.14 (*t*-Bu, Me), 67.40, 70.05, 70.37, 71.15, 71.47, 73.01, 73.51 (η -C₅H₃ or η -C₅H₄), 80.14, 81.59 (*ipso*-Cp-Ac), 107.37 (*ipso*-Cp-*t*-Bu), 199.27, 199.90 (CO). Anal. Calc. for C₁₈H₂₂O₂Fe: C, 66.27; H, 6.80. Found: C, 66.38; H, 6.85.

Acetylation of 1, 1'-di-*t*-butylferrocene. The reaction was carried out according to the procedure described above.

3,4'-di-*t*-butyl-1,1'-diacetylferrocene (4). Red crystals (46 %), m.p. 149°C. IR (KBr): 1667 cm⁻¹. ¹H NMR (300 MHz, CDCl₃): δ 1.26 (s, 18H, *t*-Bu), 2.29 (s, 6H, Ac), 4.29 (dd, *J*= 2.6 and 1.5 Hz, 1H, η -C₅H₃), 4.53 (t, *J*= 1.5 Hz, 1H, η -C₅H₄), 4.79 (dd, *J*= 2.6 and 1.5 Hz, 1H, η -C₅H₄). ¹³C NMR (100 MHz, C₆D₆): δ 27.45 (Me), 27.56 (Me), 30.57 (*t*-Bu, C), 31.14 (*t*-Bu, Me), 67.40, 70.05, 70.37, 71.15, 71.47, 73.01, 73.51 (η -C₅H₃ or η -C₅H₄), 80.14, 81.59 (*ipso*-Cp-Ac), 107.37 (*ipso*-Cp-*t*-Bu), 199.27, 199.90 (CO). Anal. Calc. for C₂₂H₂₃O₂Fe: C, 69.14; H, 7.91. Found: C, 69.27; H, 8.03.

3,3'-di-*t*-butyl-1,1'-diacetylferrocene (5). Red oil (23 %). IR (KBr): 1667 cm⁻¹. ¹H NMR (300 MHz, CDCl₃): δ 1.22 (s, 18H, *t*-Bu), 2.43 (s, 6H, Ac), 4.44 (dd, *J*= 2.6 and 1.5 Hz, 1H, η -C₅H₃), 4.45 (t, *J*= 1.5 Hz, 1H, η -C₅H₄), 4.57 (dd, *J*= 2.6 and 1.5 Hz, 1H, η -C₅H₄).

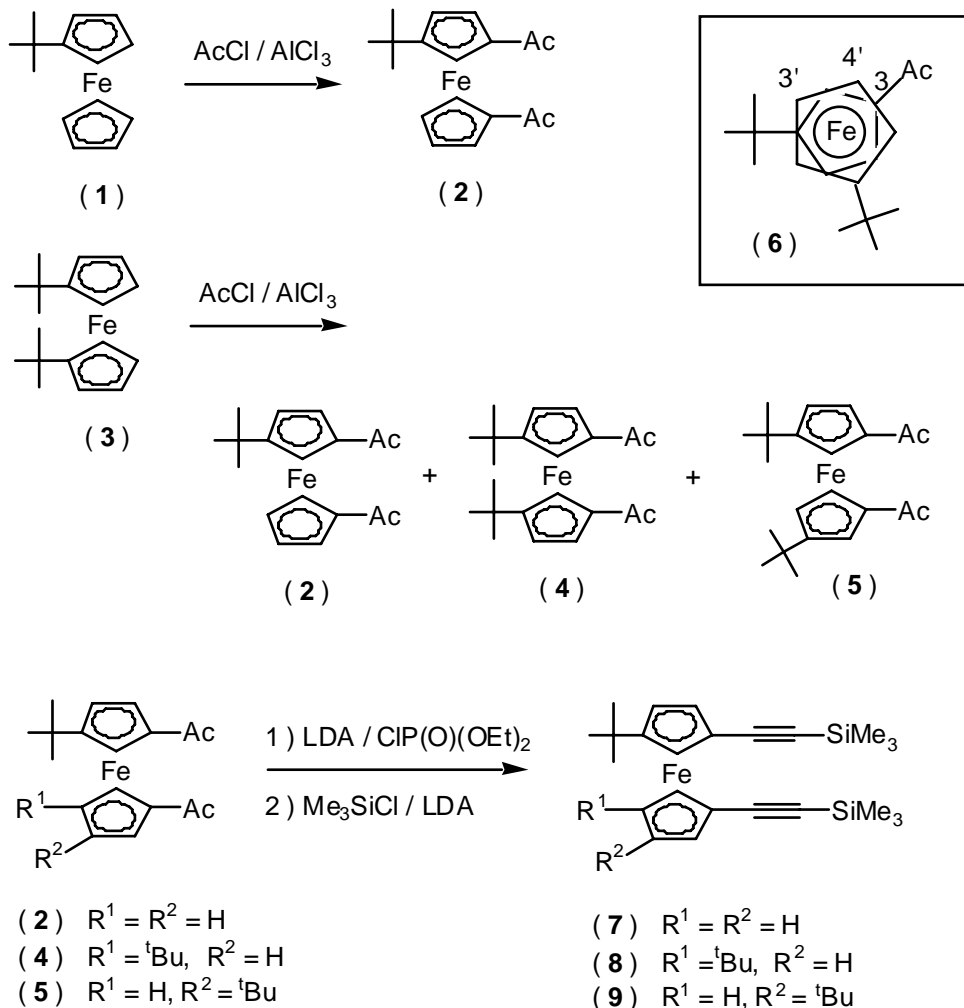
3-*t*-Butyl-1,1'-bis(trimethylsilyl)ferrocene (7). To a LDA solution prepared from diisopropylamine (6 ml, 40 mmol) and *n*-BuLi (25 ml of 1.5 M solution in hexane, 40 mmol) in THF (100 ml) was added a solution of 2 (3.28 g, 10 mmol) in THF (100 ml) at 0°C and the solution was stirred for 2 h at the same temperature. To the solution was added diethyl chlorophosphate (5.7 ml, 40 mmol) and then the solution was stirred for 2 h at 0°C. To the solution cooled at -100°C using a hexane / liq. N₂ bath was added chlorotrimethylsilane (40 g, 400 mmol) and subsequently a LDA solution (40 mmol). The solution was warmed gradually to room temperature and then quenched with an aqueous NaHCO₃ solution. The mixture was extracted with diethyl ether and the extract was washed with H₂O and dried over MgSO₄. After evaporation, the residue was chromatographed on Al₂O₃ by elution of hexane / EtOAc (5 : 1) to give the title complex as red orange oil (1.58 g, 36 %). IR (neat): 2149 cm⁻¹. ¹H NMR (400 MHz, C₆D₆): δ 0.20 (s, 9H, SiMe₃), 0.21 (s, 9H, SiMe₃), 1.24 (s, 9H, *t*-Bu), 4.02 (dd, *J*= 2.5 and 1.6 Hz, 1H, η -C₅H₃), 4.11 (m, 1H, η -C₅H₄), 4.23 (t, *J*= 1.6, 1H, η -C₅H₃), 4.27 (m, 1H, η -C₅H₄), 4.31 (m, 1H, η -C₅H₄), 4.37 (dd, *J*= 2.5 and 1.6 Hz, 1H, η -C₅H₃), 4.40 (m, 1H, η -C₅H₄). ¹³C NMR (100 MHz, C₆D₆): δ 0.11 (SiMe₃), 0.23 (SiMe₃), 30.66 (*t*-Bu, C), 31.26 (*t*-Bu, Me), 64.48 (C), 66.11(C), 68.87, 70.96, 70.98, 71.66, 72.21, 72.79, 74.01, 74.81 (η -C₅H₃ or η -C₅H₄), 90.83 (C), 91.47 (C), 103.74, 103.85, 104.12 (*ipso*-Cp). Anal. Calc. for C₂₂H₂₃O₂Fe: C, 69.14; H, 7.91. Found: C, 69.27; H, 8.03.

3,4'-Di(*t*-butyl)-1,1'-bis(trimethylsilylethylyn)ferrocene (8). Red-orange solid (24 %), m.p. 110°C. IR (KBr): 2149 cm⁻¹. ¹H NMR (300 MHz, CDCl₃): δ 0.19 (s, 18H, SiMe₃), 1.26 (s, 18H, *t*-Bu), 3.89 (dd, *J*= 2.6 and 1.5 Hz, 1H, η -C₅H₃), 4.11 (t, *J*= 1.5 Hz, 1H, η -C₅H₄), 4.45 (dd, *J*= 2.6 and 1.5 Hz, 1H, η -C₅H₄). ¹³C NMR (100 MHz, C₆D₆): δ 27.45 (Me), 27.56 (Me), 30.57 (*t*-Bu, C), 31.14 (*t*-Bu, Me), 67.40, 70.05, 70.37, 71.15, 71.47, 73.01, 73.51 (η -C₅H₃ or η -C₅H₄), 80.14, 81.59 (*ipso*-Cp-Ac), 107.37 (*ipso*-Cp-*t*-Bu), 199.27, 199.90 (CO). Anal. Calc. for C₂₈H₄₂Si₂Fe: C, 68.54; H, 8.63. Found: C, 68.56; H, 8.70.

3,3'-Di(*t*-butyl)-1,1'-bis(trimethylsilylethylyn)ferrocene (9). Red-orange oil (60 %). IR (neat): 2149 cm⁻¹. ¹H NMR (300 MHz, CDCl₃): δ 0.21 (s, 18H, SiMe₃), 1.22 (s, 18H, *t*-Bu), 4.07 (dd, *J*= 2.6 and

1.5 Hz, 1H, η -C₅H₃), 4.18 (t, J = 1.5 Hz, 1H, η -C₅H₄), 4.21 (dd, J = 2.6 and 1.5 Hz, 1H, η -C₅H₄). ¹³C NMR (100 MHz, C₆D₆): δ 27.45 (Me), 27.56 (Me), 30.57 (*t*-Bu, C), 31.14 (*t*-Bu, Me), 67.40, 70.05, 70.37, 71.15, 71.47, 73.01, 73.51 (η -C₅H₃ or η -C₅H₄), 80.14, 81.59 (*ipso*-Cp-Ac), 107.37 (*ipso*-Cp-*t*-Bu), 199.27, 199.90 (CO). Anal. Calc. for C₂₈H₄₂Si₂Fe: C, 68.54; H, 8.63. Found: C, 68.56; H, 8.70.

Scheme 1



Coupling of complex 7. To a suspension of **7** (100 mg, 0.23 mmol) and HgI₂ (210 mg, 0.46 mmol) in CH₂Cl₂ (10 ml) was added TBAF (0.69 ml of 1M solution in THF, 0.69 mmol) at -78°C under Ar. The mixture was warmed to room temperature and then stirred for 4 h. After quenching with H₂O, the mixture was extracted with CH₂Cl₂. The extract was washed with H₂O and dried over MgSO₄. After evaporation, the residue was chromatographed on SiO₂ with elution of CH₂Cl₂ to give the cyclic dimer (**10**) as yellow-orange solid (100 mg, 44 %). IR (KBr): 2142 cm⁻¹. MS (FAB): *m/z* 977 (M⁺). ¹H NMR(400 MHz, CDCl₃): δ 1.21 (s, 18H, *t*-Bu), 4.15 (m, 1H), 4.23 (m, 1H), 4.27 (2H), 4.29 (1H), 4.32 (1H), 4.37 (1H) (η -C₅H₃ or η -C₅H₄). ¹³C NMR (100 MHz, CDCl₃): δ 30.56 (*t*-Bu,C), 32.21 (*t*-Bu, Me), 66.37 (C), 69.36, 69.44, 70.99, 71.54, 71.59, 71.63, 72.43 (η -C₅H₃), 86.59 (C, *J*_{C-Hg}=2273 Hz), 100.72, 103.80 (*ipso*- η -C₅H₃).

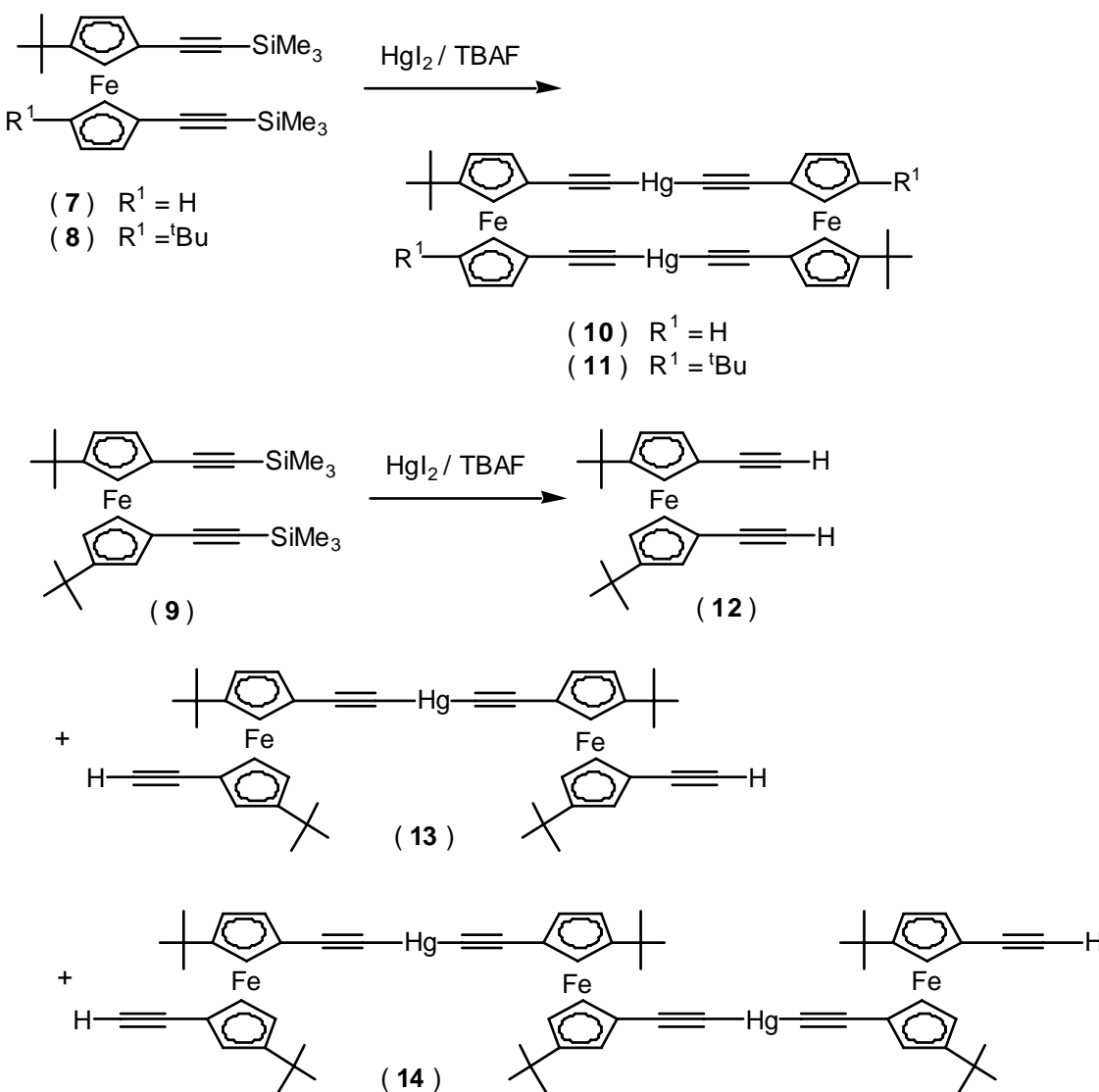
Coupling of complex 8. The reaction was carried out according to the procedure described above. The dimer (**11**) was obtained as red-brown solid (6.4 %). IR (KBr): 2137 cm⁻¹. MS (FAB): *m/z* 1090 (M⁺). ¹H NMR(400 MHz, CDCl₃): δ 1.20 (s, 18H, *t*-Bu), 4.14 (m, 2H, η -C₅H₃), 4.16 (m, 2H, η -C₅H₃),

4.38 (1H, η -C₅H₃). ¹³C NMR (100 MHz, CDCl₃): δ 30.64 (*t*-Bu,C), 32.47 (*t*-Bu, Me), 67.74 (C), 69.68 (η -C₅H₃), 70.03 (η -C₅H₃), 70.81 (η -C₅H₃), 101.32 (*ipso*- η -C₅H₃), 103.54 (*ipso*- η -C₅H₃).

Coupling of complex 9. The reaction was carried out according to the procedure described above. A 2:1 mixture of trimer (**13**) of tetramer (**14**) was obtained as red-brown solid (16 %), along with 3,3'-di-*t*-butyl-1,1'-bis(ethynyl)ferrocene (**12**). IR (KBr): 2110 and 2143 cm⁻¹. MS (FAB): *m/z* 1436 and 1979 (M⁺). ¹H NMR (400 MHz, CDCl₃): δ 1.25 (s, 18H, *t*-Bu), 1.26 (s, 18H, *t*-Bu), 2.76 (s, 2H, CH), 2.77 (s, 2H, CH), 4.12 (m, 2H, η -C₅H₃), 4.22 (m, 2H, η -C₅H₃), 4.23 (1H, η -C₅H₃).

3,3'-di-*t*-butyl-1,1'-bis(ethynyl)ferrocene (12). To a solution of 9 (120 mg, 0.23 mmol) in THF (5 ml) was added TBAF (0.69 ml of 1M solution in THF, 0.69 mmol) at -78°C under Ar. The mixture was slowly warmed to 0°C. After quenching with saturated NaHCO₃ solution, the mixture was extracted with diethyl ether. The extract was washed with H₂O and dried over MgSO₄. After evaporation, the residue was chromatographed on SiO₂ with elution of benzene to give the title complex as red-orange oil (64 mg, 80 %). IR (KBr): 2111 cm⁻¹. ¹H NMR (400 MHz, CDCl₃): δ 1.25 (s, 18H, *t*-Bu), 2.76 (s, 2H, CH), 4.16 (m, 2H, η -C₅H₃), 4.22 (m, 2H, η -C₅H₃), 4.23 (1H, η -C₅H₃). ¹³C NMR (100 MHz, CDCl₃): δ 30.76 (*t*-Bu,C), 31.54 (*t*-Bu, Me), 64.47 (C), 67.50 (η -C₅H₃), 71.38 (η -C₅H₃), 74.13 (C), 74.45 (η -C₅H₃), 82.69 (*ipso*- η -C₅H₃), 103.88 (*ipso*- η -C₅H₃).

Scheme 2.



References

1. Lehn, J-M., “*Supramolecular Chemistry*,” VCH, Weinheim, **1994**.
2. Fujita, M., “*Comprehensive Supramolecular Chemistry*,” eds by Atwood, H. L.; Davis, J. E. D.; MacNicol, D. D.; Vögtle, F., Pergamon Press, Oxford, **1996**, Vol. 9, Part 7, P 253.
3. a) Bunz, U. H. F.; Roidl, G.; Altmann, M.; Enkelmann, V.; Shimizu, K. D., *J. Am. Chem. Soc.* **1999**, 121, 10719. b) Bunz, U. H. F. *Synlett*, **1997**, 1117. c) Diederich, F.; Rubin, Y.; Chapman, O. L., *Helv. Chim. Acta* **1994**, 77, 1441. d) Espinet, P.; Soulantica, K.; Charmant, J. P. H.; Orpen, A. G., *J. Chem. Soc. Chem. Commun.*, **2000**, 915.
4. a) Fabrizi de Biani, F.; Corcini, M.; Zanello, P.; Yao, H.; Bluhm, M. E.; Grimes, R. N., *J. Am. Chem. Soc.* **2004**, 126, 11360. b) Yao, H.; Sabat, M.; Grimes, R. N.; Fabrizi de Biani, F.; Zanello, P., *Angew. Chem. Int. Ed.* **2003**, 42, 1002. c) Teo, P.; Koh, L. L.; Andy Hor, T. S., *Inorg. Chem.* **2003**, 42, 7290. d) Linder, E.; Ayasse, C. S.; Eichele, K.; Steimann, M., *Organometallics*, **2002**, 21, 4217. e) Bruce, M. I.; Costuas, K.; Halet, J.-F.; Hall, B. C.; Low, P. J.; Nicholson, B. K.; Skelton, B. W.; White, A. H., *J. Chem. Soc. Dalton Trans.* **2002**, 383. f) ALQaisi, S. M.; Galat, K. J.; Chai, M.; Ray III, D. J.; Rinaldi, P. L.; Tessier, C. A.; Youngs, W. J., *J. Am. Chem. Soc.* **1998**, 120, 12149.
5. Doisneau, G.; Balavoine, G.; Fillebeen-Khan, T., *J. Organomet. Chem.* **1992**, 425, 113.
6. Rosenblum, M.; Brawn, N.; Papenmeier, J.; Applebaum, M., *J. Organomet. Chem.* **1966**, 6, 173.